

## مدلسازی فضایی - زمانی آلبدو در گستره‌ی ایران زمین

دریافت مقاله: ۹۵/۱۱/۲۹ پذیرش نهایی: ۹۶/۷/۲۳

صفحات: ۱-۱۷

زهرا حجازی زاده: استاد گروه آب و هواشناسی، دانشگاه خوارزمی تهران.

hejazizadeh@tmu.ac.ir

نسرین بزمی: دانشجوی دکتری آب و هواشناسی ، دانشگاه آزاد اسلامی، واحد نور.

Bazmi.nasrin45@yahoo.com

علیرضا رحیمی: استادیار پژوهشکده انرژی، دانشگاه کاشان.

rahimi2@kashanu.ac.ir

میثم طولابی نژاد: دانشجوی دکتری آب و هواشناسی دانشگاه خوارزمی، تهران.<sup>۱</sup>

Meysam.toulabi@gmail.com

عاطفه بساک: دانشجوی کارشناسی ارشد آب و هواشناسی ، دانشگاه خوارزمی، تهران.

bosak.a.69@gmail.com

### چکیده

این تحقیق با هدف مدلسازی تغییرات زمانی - مکانی آلبدو با استفاده از اثر همزمان چند مولفه از جمله: رطوبت لایه سطحی خاک (Wetness)، ابرناکی(Cloudiness)، توبوگرافی و تراکم پوشش گیاهی(NDVI) با استفاده از مدل MEERA2 با قدرت تفکیک ۵۰ در ۵۰ کیلومتر طی سال‌های ۲۰۰۰ تا ۲۰۱۰ در گستره‌ی ایران مورد بررسی قرار گرفت. نتایج حاصل از تحلیل فضایی مقادیر آلبدو در گستره ایران نشان داد که بیشترین مقدار در طول جغرافیایی ۴۴ تا ۴۵ درجه شرقی به میزان ۲/۸ تا ۳/۳ و کمترین مقدار بازتابش نیز بین ۵۲ تا ۵۳ درجه طول شرقی یعنی دامنه های شرقی رشته کوههای زاگرس به میزان ۱/۵ واحد به ثبت رسیده است. از نظر رتبه استانی نیز بیشترین بازتابش به میزان ۰/۲۵ واحد مربوط به استان ایلام می باشد و سپس استان فارس به مقدار ۰/۲۴ واحد در رتبه بعدی قرار گرفته است. کمترین میزان آلبدو نیز به استان های گیلان و سپس مازندران با مقادیر ۰/۱۷ و ۰/۱۹ واحد اختصاص دارد. همچنین نتایج حاصل از تحلیل زمانی در مقیاس فصلی نشان داد که بیشترین مقدار آلبدو در پهنه ایران در فصل زمستان به مقدار ۰/۲۶ واحد و حداقل مقدار بازتابش در فصل بهار با ۰/۲۳ واحد به ثبت رسیده است. در مجموع با توجه به عوامل مورد استفاده، می توان گفت که مناطق غرب و مرکز کشور دارای بیشترین؛ و مناطق شمال و شمالغرب کشور دارای کمترین آلبدو هستند.

کلیدواژگان : آلبدو، تحلیل فضایی- زمانی، مدل MERRA2، ایران.

۱. مسئول مقاله: دانشگاه خوارزمی تهران، دانشکده علوم جغرافیایی، گروه آب و هواشناسی ۹۱۶۹۵۹۷۶۲۶

## مقدمه

متوسط انرژی دریافتی در هر سانتی متر مربع بر حسب کالری در دقیقه در سطح زمین، تحت تأثیر عوامل متعددی نظیر؛ عرض جغرافیایی، مدت تابش آفتاب، میزان ابرناکی، رطوبت نسبی، فشار بخار آب، غبارآلودگی هوا و ... تغییر می کند. خورشید منبع اصلی تأمین انرژی برای کلیه فعالیت هایی است که در کره زمین صورت می گیرد. اما برونداد آن در سطح زمین به طور یکسان عمل نمی کند، به طوری که بعضی قسمت ها همانند مناطقی با عرض جغرافیایی پایین انرژی بیشتری دریافت می کنند و بعضی مناطق دیگر همانند مناطق قطبی انرژی کمتری دریافت می کنند (لطفى، ۱۳۹۰: ۳). نسبت میان برخورد تشعشعات خورشیدی با اجسام و میزان انعکاس آن در هوا را آلبدو می گویند. آلbedo در واقع به معنای کسری از تابش ورودی است که به وسیله سطح انعکاس داده می شود (کوکلایی، ۲۰۰۳: ۱۹۱۵). بازتاب به طور کلی به نور مرئی اشاره دارد، اگرچه ممکن است برخی از مناطق مادون قرمز از طیف الکترومغناطیسی را نیز شامل شود (مايكوت ۱۹۸۶: ۱۵۵۱: ۱۵۵).

در تعریف دیگر، بخشی از انرژی خورشیدی ورودی پراکنده از زمین به فضا است که به عنوان بازتاب سیاره ای نامیده می شود. این انعکاس انرژی یک بخش مهم در تعادل انرژی زمین، و فرآیندهای حاکم بر مقدار، توزیع آن، و آب و هوا و تغییر شکل پذیری زمین است (استفان و همکاران، ۲۰۱۵: ۳). این پدیده در بررسی تغییرات پوشش سطح زمین و تغییرات آب و هوا نقش کلیدی دارد (اکبرزاده، ۱۳۹۰: ۲۱). بازتابش زمینی بر مقدار تابش خورشیدی جذب شده توسط سیستم آب و هوایی حاکم در زمین و نتایج حاصل از فعل و انفعالات پیچیده بین بسیاری از فرایندهای تابشی در جو و در سطح سیاره ای اثرگذار است. تغییرات مکانی و زمانی در ابر، پوشش گیاهی، دریا، یخ، برف، و دیگر اجزای سیستم آب و هوایی به راحتی می تواند به نوسانات موضوعی در بازتاب جو از ۲۰ تا ۸۰ درصد اثر بگذارد (شورتر و همکاران، ۲۰۱۰: ۳۲). اندازه ای آلbedo به طبیعت سطوح نیز بستگی دارد، به عنوان مثال برای جنگل ۵ تا ۱۰ درصد، برای زمین های شنی ۲۰ تا ۳۰ درصد، برای برف تازه ۸۰ تا ۹۰ درصد و برای دریا ۷ تا ۹ درصد خواهد بود. هم چنین زوایه ای برخورد اشعه ای خورشید با سطح نیز در اندازه ای آلbedo تاثیر خواهد داشت؛ بدین معنی که در لحظه ای طلوع یا غروب خورشید آلbedo در حدود ۱۰۰ درصد بوده در حالی که در هنگام ظهر به پایین ترین مقدار خود خواهد رسید. بر حسب انواع ابر نیز مقدار انعکاس تفاوت می کند. برای ابرهای آلتوسراطوس کمتر و در ابرهای استراتوکومولوس مقدار آن بیشتر است (علیجانی، ۱۳۸۷: ۱۵۶).

بیلان انرژی تابشی دریافتی و برگشتی از کره زمین بیانگر انرژی قابل دسترس در هر بخش از سامانه زمین- اتمسفر می باشد. همچنین تابش خالص خورشیدی بنیادی ترین نیروی محركه برای تبخیر و تعرق و تمامی کنش و واکنش ها مابین زمین و اتمسفر می باشد. این برهم کنش ها به گونه ای معنی دار بر اقلیم و دگرگونی آن سایه می افکنند. از این رو، برآورد ریزبینانه انرژی خالص در مقیاس گستردگی از نظر مدل های اقلیمی جهانی و منطقه ای حائز اهمیت است.

2. Coakley,

3. Maykut

4. Stephens et al

از اولین تحقیقات در زمینه بیلان انرژی در کره زمین، می‌توان به اثر ارزشمند هارتمن و همکاران<sup>۵</sup> (۱۹۸۶)، اشاره کرد. ایشان در این تحقیق به یک نمای کلی از اندازه‌گیری بودجه تابش جو در مطالعات آب و هوا پرداخته و دریافتند که جریان خالص انرژی تابشی در بالای جو و سطح زمین متعادل است. این تعادل بین جو و زمین توسط حرکات عمودی، و در سطح زمین بواسیله ذخیره سازی گرمای محلی و یا با جابجایی افقی بین سطح زمین و اقیانوس‌ها صورت می‌پذیرد. لیانگ<sup>۶</sup> (۲۰۰۱)؛ لیانگ و همکاران (۲۰۰۲)، با استفاده از باندهای طیفی باریک، روابطی تجربی برای به دست آوردن آبدو از سطوح ناهمگن ارائه دادند. محصولات اندازه‌گیری مستقیم آبدوی سطح، با تفکیک ۱ کیلومتر، را که به ترتیب بر ماهواره‌های ترا MISR و MODIS و سنجنده‌های آکوا قرار گرفته‌اند، برآورد نمودند. داده‌ها این فرصت را فراهم می‌کنند تا نه تنها تغییرات فصلی توازن انرژی تابشی فرانگری شود، بلکه کاهش انرژی و بازتابش آن را بر سامانه اقلیم امکان‌پذیر می‌سازند. ویلیکیل و همکاران<sup>۷</sup> (۲۰۰۵)، تغییرات ضریب آبدوی زمین را که به وسیله ماهواره اندازه‌گیری شده بود بررسی نمودند و به افزایش درصدی در سالانه دست یافتند. برای تعیین تغییرات، نیاز به داده‌های طولانی تری می‌باشد. در بسیاری از مدل‌های گردش عمومی آبدوی مرئی و مادون قرمز نزدیک به عنوان ورودی ندل در نظر گرفته شد. تسامی و همکاران<sup>۸</sup> (۲۰۰۸)، روش سریع و عملی را برای محاسبه آبدوی سطحی از تصاویر لندست و مودیس، برای شرایط مختلف اتمسفری ارائه نمودند. آن‌ها برای ارزیابی آبدوی به دست آمده با روش نوبن آن را با محصول ۰۹ Mod و / Mod ۴۳ مودیس مقایسه نمودند و به خطای  $^{+35}$  و  $^{-35}$  دست یافتند. کیم و رامتنان<sup>۹</sup> (۲۰۰۸)، تابش خورشیدی و شدت تابش زمین را با وجود ذرات معلق در هوا و ابرها برآورد کرده و دریافتند که میزان جذب خورشیدی بسیار بزرگتر از آن مقداری است که هیئت بین‌الدولی تغییرات آب و هوا (IPCC) در سال ۲۰۰۱ اعلام کرده است؛ که این مقدار برابر با ۶۷ وات بر متر مربع می‌باشد. همچنین نتایج ایشان نشان داد که افزایش جذب انرژی خورشیدی در جو به علت گسترش آئروسل‌ها بوده است، هر چند که هنوز بخار آب بیشترین جذب تابش را بر عهده دارد. هی<sup>۱۰</sup> (۲۰۱۲)، برای تخمین آبدوی سطحی از تصاویر مودیس، به جای این که ابتدا تصحیحات اتمسفری را انجام دهد و سپس تصاویر بازتابندگی و محصول آبدوی سطحی را مطابق آنچه مرسوم است تولید کند، شرایط اتمسفری و توپوگرافی را همزمان تخمین زد. چایاکیو و همکاران<sup>۱۱</sup> (۲۰۱۵)، با استفاده از مدل آب و هوای منطقه‌ای بودجه تابش در سراسر اروپا را طی دو دوره آماری، از ۱۹۷۹ تا ۱۹۸۷ و دوره دیگر از ۱۹۸۷ تا ۲۰۱۰ را با یکدیگر ارزیابی و مقایسه کردند. ایشان نتیجه گرفتند که مقدار بودجه تابشی در سری زمانی (۱۹۸۷-۱۹۷۹) افزایشی بوده است ولی در دوره ۲۰۱۰-۱۹۷۹ با کاهش روبرو بوده است. یعنی مقدار انرژی مستقیم رسیده به سطح با کاهش مواجه شده است. استفان و همکاران<sup>۱۲</sup> (۲۰۱۵)، طی تحقیقی روند بازتابش زمین را بررسی نمودند، نتایج نشان می‌دهد که چگونه ابرها بازتاب زمین را تنظیم نموده و بین نیم‌کرات تقارن ایجاد می‌کنند. همچنین نتایج نشان داد که مدل‌های آب و

<sup>5</sup>. Hartmann *et al*<sup>6</sup> Liang<sup>7</sup>. Wielicki *et al.*<sup>8</sup>. Tasumi *et al.*<sup>9</sup>. Kim and Ramanathan<sup>10</sup>. He<sup>11</sup>. Chiacchio *et al*<sup>12</sup>. Stephens *et al*

هوای فعلی فاقد توانایی در نمایش این درجه از تقارن و مقررات توسط ابرها هستند. ینگ و همکاران<sup>۱۳</sup> (۲۰۱۶)، مقدار بازتاب موج کوتاه در پهنه یخی قطب شمال را با استفاده از داده های سنجنده MODIS برآورد کردند. نتایج ایشان نشان داد که، الگوریتم مستقیم بازتاب، بر اساس BRDF-R مقدار ۰/۶۷ و متوجه مربعات خطأ (RMSE) برابر با ۰/۰۶۸ درصد است. همچنین نتایج اعتبارسنجی نشان می دهد که الگوریتم مستقیم برآورد بازتاب، مبتنی بر BRDF برای نقشه برداری موج کوتاه بازتابش از سطح یخ های قطب شمال مناسب است.

در ایران نیز تعداد محدودی تحقیق در این مورد صورت گرفته که اکثرًا یا بصورت آماری و یا با تصاویر ماهواره-ای مانند مودیس و آکوا، با قدرت تفکیک بیشتر از ۱ درجه و به صورت موردنی به انجام رسیده اند. اما در این تحقیق گستره کشور ایران بطور همزمان و با قدرت تفکیک ۵۰ در ۵۰ کیلومتر (۰/۰۶۲۵ درجه) بررسی شده است.

از جمله کارهای انجام شده می توان به کار درخشی (۱۳۸۹)، اشاره نمود که تابش خورشیدی دریافتی در سطح افقی را با استفاده از پارامترهای اقلیمی در استان آذربایجان شرقی را بررسی کرده و نشان داد که، کمترین میزان تابش مربوط به ماه زانویه و بیشترین میزان آن مربوط به ماه ژوئن می باشد. توزیع تابش سالانه استان از جنوب غربی به شمال و شمال شرقی روند کاهشی را نشان می دهد. میانگین تابش سالانه در استان، ۴۲۴۴ وات بر متر مربع در روز می باشد. دامنه تغییرات تابش سالانه استان ۴۴۳ وات بر متر مربع در روز و ضریب تغییر پذیری مکانی آن ۲ درصد می باشد. لطفی (۱۳۹۰)، تحقیقی با عنوان برآورد تابش خالص خورشیدی با کاربرد داده های سنجنده MODIS برای استان فارس به انجام رساند. یافته های این پژوهش نشان داد که: الف- میانگین روزانه انرژی تابشی خالص برای ایستگاه شیراز در تاریخ های ۱۳۹۰/۱۰/۱۲ و ۱۳۹۰/۰۴/۱۸ یکی پس از دیگری برابر با ۲۴۸ و ۴۸۰ وات بر متر مربع می باشد. ب- میانگین روزانه انرژی تابشی خالص برای ایستگاه لامرد که عرض جغرافیایی آن کمتر می باشد. ج- بیشینه و کمینه اندازه تابش موج بلند بیرون رفته از زمین در ایستگاه شیراز در تاریخ های ۱۳۹۰/۱۰/۱۲، ۱۳۹۰/۰۴/۱۳ و ۱۳۹۰/۰۴/۱۵ بین ۳۴۵ و ۴۹۶ وات بر متر مربع برآورد گردید. د- اندازه تابش موج بلند خروجی در ایستگاه لامرد در تاریخ های ۱۳۹۰/۱۱/۲۰ و ۱۳۹۰/۰۵/۱۸ یکی پس از دیگری برابر با ۳۸۶ و ۵۱۰ وات بر متر مربع می باشد. ثانی نژاد و همکاران (۱۳۹۰)، از تصاویر سنجنده مودیس و الگوریتم سیال برای برآورد آلبدوی سطحی و تبخیر و تعرق واقعی در زیر حوضه آبریز مشهد پراختند. براساس نتایج به دست آمده، نواحی با پوشش گیاهی متراکم و دمای پایین دارای مقادیر آلبدوی سطحی پائین و مقادیر بالای تبخیر و تعرق بوده و مناطق دارای دمای بالا و پوشش گیاهی پراکنده و کم از مقادیر آلبدوی سطحی پائین و مقدار تبخیر و تعرق کمی برخوردارند. اکبرزاده (۱۳۹۰)، دقت محصولات آلبدوی MODIS با استفاده از تصاویر ASTER را مورد ارزیابی قرار داد. نتایج این ارزیابی نشان داد که در شرایط آیده-آل، چنانچه شرایط جوی در بازه زمانی ۱۶ روزه‌ی MODIS حاکی از عدم تغییر عمدی جوی بوده و با شرایط جوی در زمان اخذ تصویر ASTER مشابه می باشد، تفاوت مقادیر آلبدوهای پهنه‌باند موج کوتاه و مرئی MODIS نسبت به ASTER به ترتیب در حدود ۶ درصد، و ۷ درصد و RMSD اختلافات نسبی برای هر دو آلبدوی موج کوتاه و مرئی در حدود ۴ درصد می باشد. در غیر اینصورت با توجه به میزان و شدت تغییرات جوی

13. Ying et al

در طول بازه زمانی ۱۶ روزه‌ی MODIS در مقایسه با روز اخذ تصویر ASTER ، اختلاف آلbedoهای پهن‌باند MODIS نسبت به ASTER مقادیر بیشتری خواهد بود. خیرخواه‌زركش و همکاران<sup>(۱۳۹۳)</sup>، در تحقیق خود با استفاده از تصاویر لندست و مودیس مقدار آلbedo سطحی را محاسبه کردند. نتایج نشان داد که میانگین آلbedo در کاربری زراعت فعال، در تصویر لندست و مودیس، به ترتیب مقدار ۰/۱۸۶ و ۰/۳۴۴ را نشان می‌دهد، که کمترین مقدار را بین انواع کاربری‌ها دارا بوده و در کاربری مسیل، مقدار ۰/۲۴۳ را نشان می‌دهد که در بین کاربری‌های ذکر شده بیشترین مقدار می‌باشد. همچنین مقدار آلbedo در کاربری اراضی زراعی آیش در تصویر لندست و مودیس، به ترتیب دارای مقادیر حداقل ۰/۰۸۸ و ۰/۰۲۴۷ و نیز ۰/۰۳۷۴ و ۰/۰۴۶۴ می‌باشد. سبزی پرور و همکاران<sup>(۱۳۹۴)</sup>، در تحقیقی با عنوان، تخمین ضریب آلbedo سطح زمین با استفاده از تصاویر level1\_G CDR ماهواره لندست ۷ در همدان نشان دادند که آلbedo برآورد شده پوشش سبز منطقه مورد مطالعه بین ۰/۰۲۱ تا ۰/۰۲۶ متغیر بود و آلbedo پوشش برف حدود ۰/۶۵ تخمین زده شد. در این رابطه، میانگین مربعات خطای آلbedo سطحی تخمین زده از تصاویر بین ۰/۰۰۹ تا ۰/۰۰۲ به دست آمد. بیش ترین خطای مربوط به آلbedo سطحی در محدوده مادون قرمز نزدیک بود.

با توجه به اینکه آلbedo پارامتر فیزیکی بسیار مهمی در مطالعات زیستمحیطی، هواشناسی و مطالعات انتقال تابشی محسوب می‌شود، این تحقیق با هدف اندازه‌گیری تغییرات زمانی- مکانی آلbedo در گستره ایران زمین به انجام می‌رسد.

### روش تحقیق

برای تعیین آلbedo اجسام روی سطح زمین، در مقیاس وسیع و با در نظر گرفتن توپوگرافی‌های مختلف سطح زمین، امکان اندازه‌گیری زمینی مقادیر آلbedo اجسام وجود نداشته، لذا به ناچار از روش‌های سنجش از دور استفاده می‌گردد(جکسون و همکاران<sup>(۱۴)</sup>، ۱۹۸۷). یکی از این روش‌ها می‌توان به داده‌های فضایی MERRA-2 نام برد که در این تحقیق جهت ارزیابی مقادیر آلbedo گستره ایران مورد استفاده قرار گرفت.

داده‌های باز تحلیل مرکز ناسا تحت مدل MERRA-2 جایگزین نسل اول MERRA شده اند(رینکر و همکاران<sup>(۱۵)</sup>، ۲۰۱۲؛ ۳۶۲۵). این داده‌ها توسط دفتر ادغام و مدلسازی جهانی<sup>(۱۶)</sup> (GMAO) ناسا تهیه می‌شود. داده‌های این مدل در حال حاضر توسط سیستم همانندسازی اطلاعات با نسخه ۵ (GEOS-5) تولید می‌شوند(مالود<sup>(۱۷)</sup>، ۲۰۱۲؛ مالود و همکاران<sup>(۱۸)</sup>، ۲۰۱۴). بر خلاف MERRA، تمام مجموعه داده‌های MERRA-2 بر روی شبکه افقی ارائه شده است. مجموعه این شبکه دارای ۵۷۶ نقطه در جهت طولی و ۳۶۱ نقطه در جهت عرضی، با قدرت تفکیک ۰/۵ در ۰/۶۲۵ درجه است(داسیلوا و همکاران<sup>(۱۹)</sup>، ۲۰۱۵). قدرت تفکیک طولی داده‌ها در MERRA از ۱ درجه به ۰/۶۲۵ درجه در MERRA-2 تغییر یافته است، اما قدرت تفکیک عرضی بدون تغییر (۰/۵ درجه) باقی مانده است(بوسیلوویچ و همکاران<sup>(۲۰)</sup>، ۲۰۱۶). سنجنده MODIS پرکاربردترین سنجنده

14. Jackson *et al*

15. Rienecker *et al*

16. Global Modeling and Assimilation Office

17. Molod *et al*

18. da Silva *et al*

19. Bosilovich *et al*

در تولید محصولات آبدو و تراکم پوشش گیاهی به صورت جهانی و مستمر، اما با قدرت تفکیک مکانی پایین است. خطا در محصولات آبدوی این سنجنده می‌تواند نتایج خروجی مدل‌های آب و هوایی و اقلیمی استفاده کننده از این محصولات را تحت تأثیر قرار دهد(سیزی پرورو و همکاران، ۱۳۹۴؛<sup>۳۳</sup>؛ بنایراین دلیل انتخاب داده‌های MERRA-2 برای ارزیابی مقادیر آبدوی ایران، قدرت تفکیک مکانی بالای داده‌های این مدل ۵۰ در ۵۰ کیلومتر یا ۰/۵ در ۰/۶۲۵ درجه) در مقایسه با سنجنده‌های نظیر MODIS می‌باشد(وو و همکاران<sup>۳۰</sup>؛<sup>۳۱</sup>).<sup>۳۲</sup>

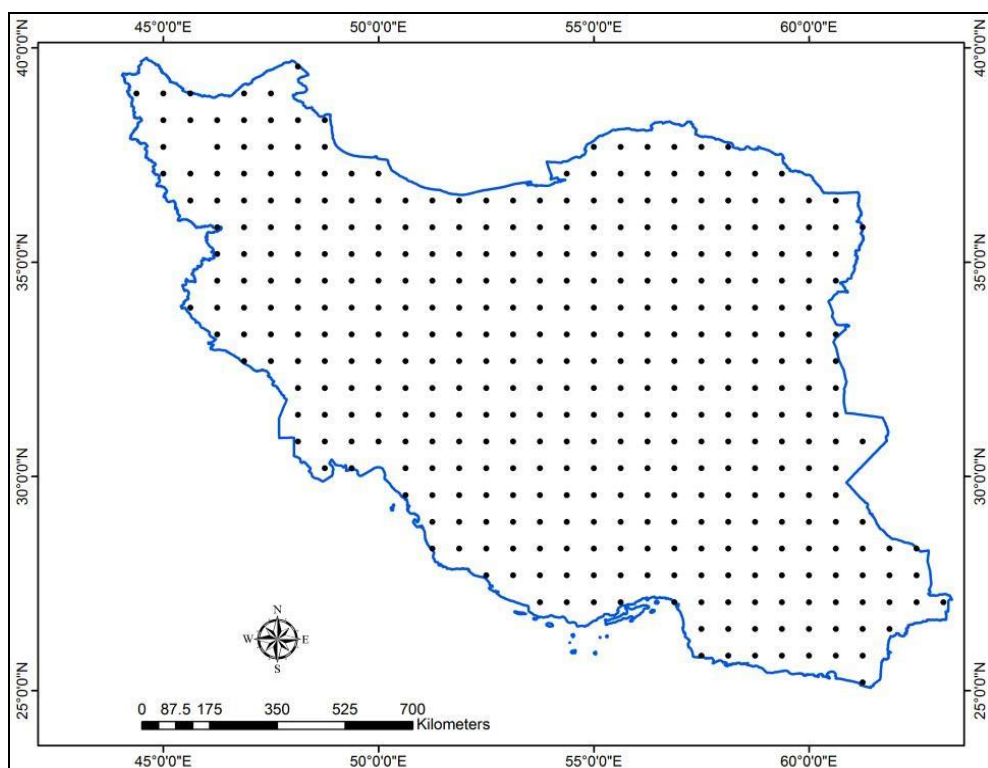
جدول (۱). مشخصات مدل MERRA2

سال تولید	قلمرو مدل	قدرت تفکیک	قدرت آنالیز
۲۰۱۴	شامل اتمسفر، آرکوس و تصویبات زمینی	۰/۵ * ۰/۶۲۵ در ۵۰ کیلومتر)	3D, VAR Atmos

در این تحقیق شبکه افقی داده‌های آبدوی استفاده شده برای گستره‌ی ایران، بین عرض‌های ۲۵ تا ۴۰ درجه شمالی و از ۴۴ تا ۶۴ درجه طول شرقی، متشکل از ۳۶۹ نقطه شبکه(یاخته) می‌باشد شکل(۱). مقدار این بازتاب متفاوت، و بین صفر و یک در اشیاء مختلف در نوسان است. بازتاب معمولاً به "سفیدی" یک سطح اشاره دارد، مقدار صفر به معنی جسم سیاه و ۱ به معنی اجسام سفید است. مقدار صفر به معنای سطح "جذب کامل" است که تمام انرژی دریافتی را جذب می‌کند و مقدار ۱ به معنای سطح یک "بازتابنده کامل" که نشان دهنده بازتابش تمام انرژی دریافتی است(پروویچ، ۱۹۹۸؛<sup>۲۱</sup> ۵۸۴۶؛<sup>۲۰</sup>).

جهت بررسی آبدو در گستره‌ی ایران علاوه بر آبدو از داده‌های ابرناکی، رطوبت خاک و شاخص پوشش گیاهی(NDVI) استفاده شد. ابتدا این داده‌ها در مقیاس فصلی از سال ۲۰۰۰ تا ۲۰۱۰ با تفکیک مکانی ۵۰ کیلومتر مدلسازی گردید، سپس مقادیر آبدوی هر استان با استفاده از زیر مجموعه zonal statistics در نرم افزار GIS استخراج، و سپس رتبه بندی صورت پذیرفت. شکل(۱).

20. Wu et al  
21. Perovich

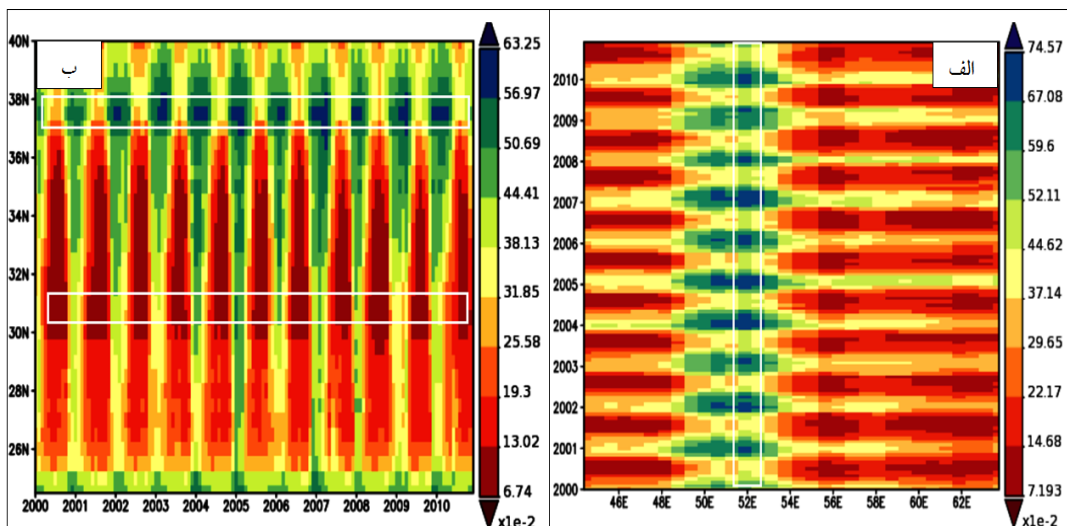


شکل (۱). منطقه مورد مطالعه همراه با تعداد یاخته‌های مدل MERRA2 در گستره‌ی ایران

## نتایج

### رطوبت خاک

رطوبت خاک یکی از مهم‌ترین متغیرهای خاک است که در مطالعات و مدیریت منابع آب و خاک کاربرد زیادی دارد. این متغیر از نوع متغیرهای زمانی و مکانی است و یکی از اجزای مهم مدل‌های آب و هوایی، اکولوژیکی و هیدرولوژیکی محسوب می‌شود (بابازاده و همکاران، ۱۳۹۰). بر این اساس، توزیع فضایی رطوبت خاک در جهت طول جغرافیایی در محدوده ایران شکل (۲) (الف) نشان می‌دهد که بیشترین مقدار رطوبت خاک در طول ۵۲ و کمترین مقدار آن به طور جداگانه در طولهای جغرافیایی ۴۶ و ۶۲ درجه می‌باشد. همچنین بیشترین مقدار در جهت عرض جغرافیایی شکل (۲) (ب) ۳۸ درجه و کمترین مقدار آن در عرض ۳۰ تا ۳۲ درجه واقع شده است.



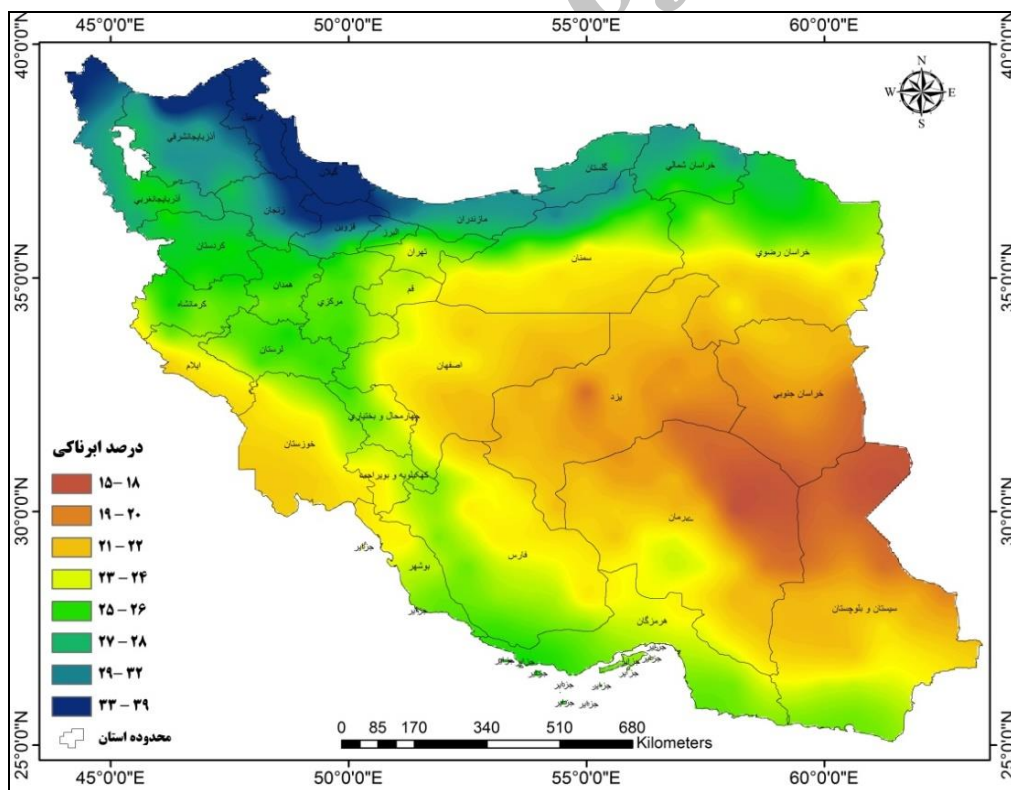
شکل (۲). مقادیر رطوبت خاک در طول (الف) و عرض (ب) جغرافیایی ایران

### ابن‌آکی

ابرها از مهم ترین عناصر اقلیمی تأثیرگذار بر سامانه‌های اقلیمی سطحی کره زمین به شمار می‌آیند، چرا که از یک طرف در مجموعه سامانه‌های همدید، باعث انتقال مقادیر متنابه ای از رطوبت اقیانوس‌ها به خشکی‌های سطح زمین می‌گردند و از طرف دیگر نقش تعیین‌کننده‌ای در توزیع این رطوبت به صورت بارش در سطح زمین دارند. همچنین به علت تأثیر بر مقادیر تابش خورشیدی و مقدار خروج انرژی از سطح زمین، کنترل کننده ترازمندی انرژی زمین می‌باشد. بنابراین ایجاد هرگونه تغییرات زمانی و مکانی در آنها می‌تواند بر سایر عناصر اقلیمی تأثیر گذار بوده و باعث تغییرات اقلیمی پیچیده‌ای گردد. همانگونه که شکل (۳) نشان می‌دهد، مدل MERRA2 بخوبی قادر به طبقه‌بندی مقدار پوشش ابر در کشور است. این مدل چندین منطقه مجزا برای مقدار پوشش ابر سالیانه کشور، شامل: ۱- منطقه سواحل جنوبی دریای خزر، منطقه آذربایجان و البرز - ۲- منطقه زاگرس غربی و دامنه‌های جنوبی البرز، منطقه جنوب غربی و شمال کویر مرکزی، خراسان رضوی - ۳- منطقه جنوب شرقی و مرکز، حوزه‌ستان و شرق کشور ارائه نمود شکل (۲). این پهنه‌ها با یافته‌های گذشته محققان همخوانی خوبی دارد جدول (۲). در بررسی آمارهای میانگین سالانه روزهای ابرناکی مشخص شد که بین میزان ابرناکی و عرض جغرافیایی و ارتفاع رابطه تقریباً مستقیم برقرار می‌باشد. اما کوههای زاگرس این نظم را به هم زده است. همچنین مشخص شد که میزان ابرناکی با طول جغرافیایی رابطه زیادی ندارد. که بخش‌های شمالی بویژه کرانه‌های غربی خزر و بخش‌های ایرانی ایران در بر می‌گیرد اساساً کمربند شمالی ایران در بالای مدار ۳۶ درجه نسبت به نقاط جنوبی دو برابر ابرناکتر است. در سراسر بخش‌های واقع بین مدار ۲۵ تا مدار ۳۶ درجه ابرناکی پیرامون ۱۰ درصد نوسان می‌کند. از مدار ۳۶ درجه تا ۲۰ درجه ۲/۵ درجه قوسی ابرناکترین منطقه ایران واقع است. در این منطقه ابرناکی بین ۱۰ تا ۲۰ درصد در نوسان است. در عرض‌های شمالی‌تر ابرناکی پیرامون ۱۵ درصد نوسان می‌کند شکل (۳).

جدول (۲). رتبه بندی استان‌ها بر اساس درصد ابرناکی (۲۰۱۰-۲۰۰۰)

استان	حداقل	حداکثر	میانگین	استان	حداقل	حداکثر	میانگین
گیلان	۲۲/۹	۳۹/۳	۳۶/۹	تهران	۲۲/۶	۲۸	۲۴/۵
اردبیل	۳۱/۹	۳۸/۴	۳۴/۶	هرمزگان	۲۲/۱	۲۶/۱	۲۳/۹
قزوین	۲۵/۴	۳۵/۹	۳۱/۶	سمنان	۲۰/۶	۳۱/۲	۲۳/۸
آذربایجان شرقی	۲۷	۳۷/۴	۳۰/۹	چهارمحال	۲۱/۸	۲۵/۵	۲۳/۷
زنجان	۲۶/۵	۳۵/۶	۳۰/۷	بوشهر	۲۱/۷	۲۵/۵	۲۳/۵
مازندران	۲۵/۸	۳۴/۲	۳۰	قم	۲۲/۱	۲۴/۸	۲۳/۳
آذربایجان غربی	۲۶/۳	۳۴/۳	۲۹/۸	خراسان رضوی	۱۹/۱	۲۹/۱	۲۲/۳
گلستان	۲۷/۹	۳۱	۲۹/۴	فارس	۲۰	۲۵/۸	۲۳/۲
البرز	۲۴/۴	۳۳/۵	۲۸/۱	کهگیلویه	۲۲	۲۴/۳	۲۳/۱
خراسان شمالی	۲۵/۵	۳۰/۵	۲۸/۱	ایلام	۲۰/۸	۲۵	۲۲/۵
کردستان	۲۵/۵	۲۸/۷	۲۶/۹	خوزستان	۲۰/۶	۲۵	۲۲/۱
همدان	۲۴/۶	۲۸/۲	۲۵/۸	اصفهان	۱۹/۴	۲۵/۴	۲۱/۴
کرمانشاه	۲۲/۱	۲۶/۶	۲۵	سیستان	۱۵/۱	۲۴/۷	۱۹/۹
لرستان	۲۲/۴	۲۶/۱	۲۴/۹	کرمان	۱۵	۲۳/۳	۱۹/۵
مرکزی	۲۳	۲۷/۱	۲۴/۸	یزد	۱۶/۷	۲۱/۷	۱۹/۴
جزایر	۲۲	۲۶/۱	۲۴/۶	خراسان جنوبی	۱۵/۷	۲۰/۹	۱۸/۴



شکل (۳). میانگین درصد ابرناکی در پهنه‌ی ایران (۲۰۱۰-۲۰۰۰)

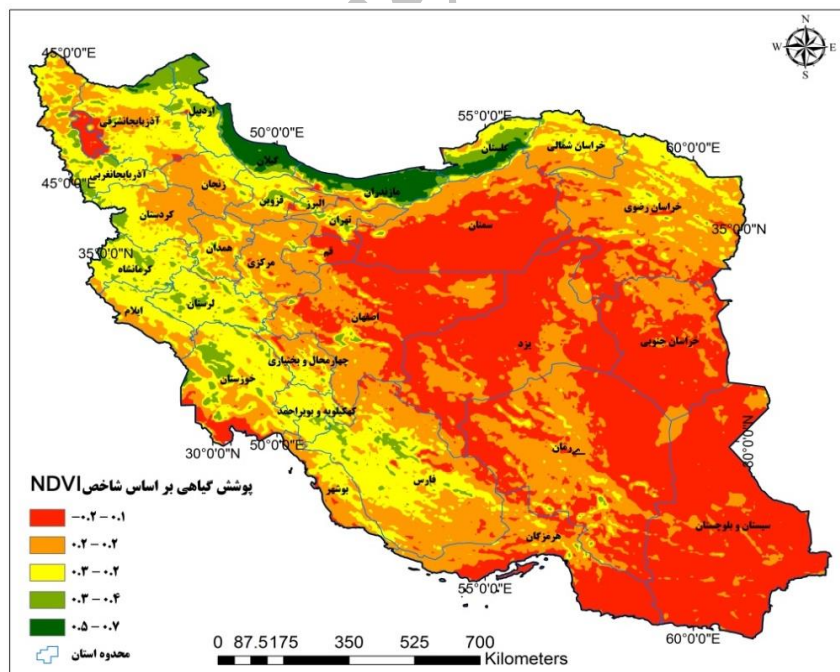
### پوشش گیاهی

شاخص NDVI ۲۲ اولین بار توسط کرایگلر و همکاران (۱۹۶۹) جهت نمایش تراکم پوشش گیاهی مطرح شد (مفاخری و همکاران، ۱۳۹۵: ۸۵). نحوه محاسبه این شاخص در رابطه آورده شد:

$$\text{NDVI} = (\text{NIR} - \text{RED}) / (\text{NIR} + \text{RED}) \quad (1)$$

این شاخص، یکی از شاخص‌های مبتنی بر نسبت و نشان دهنده ارتباط مابین پارامترهای پوشش گیاهی شامل توده زنده برگ و سطح برگ سبز می‌باشد که این امر برای تشخیص پوشش گیاهی ارزش در خور توجهی دارد؛ دامنه تغییرات شاخص NDVI بین  $-1$  تا  $+1$  می‌باشد (ابراهیمی، ۱۳۸۹).

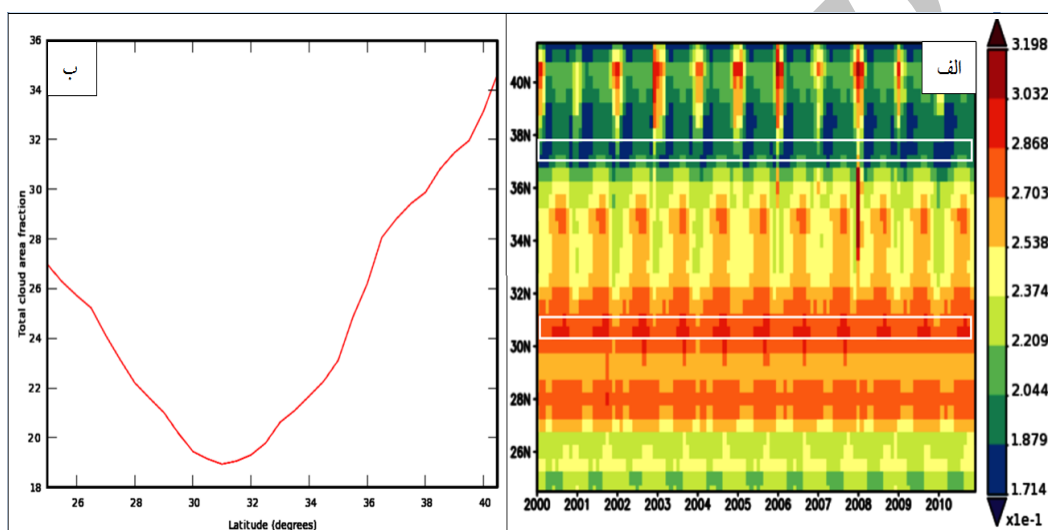
همانگونه که از نقشه میانگین شاخص NDVI شکل (۴) پیداست، بخش‌های شمالی که مشتمل از جنگل‌های انبوه همراه با کشاورزی متراکم است با میانگین  $0/6$  و سپس شمال غربی و بخش‌هایی از زاگرس با جنگل‌های بلوط و مناطق کشاورزی آبی در خوزستان با  $0/3$  تا  $0/4$  دارای مقادیر NDVI بالاتری نسبت به دیگر مناطق می‌باشند. با مراجعه به نقشه توپوگرافی منطقه مشخص شد که این قسمت از منطقه دارای زمین‌های پست و کم ارتفاعی است و تقریباً همگی به زیر کشت آبی یا دیم رفته است، بنابراین نسبت به دیگر قسمت‌های منطقه مورد مطالعه دارای NDVI بیشتر و در نتیجه پوشش گیاهی بهتری می‌باشد. اما کم ترین مقدار شاخص NDVI با مقدار  $0/2$ – $0/0$  مربوط به بخش‌های مرکزی و شرقی کشور است که شامل زمین‌های شنی و بیابانی است. با توجه به نتایج نقشه NDVI، نقش تراکم پوشش گیاهی در مقدار آبدو بخوبی روشن شد. نتایج نشان دادند که اگر در هر سطحی پوشش گیاهی متراکم باشد، مقدار آبدو کاهش و هرگجا که تراکم رو به ضعف باشد، مقدار آبدو با افزایش رو به رو خواهد بود.



شکل (۴). تراکم پوشش گیاهی بر اساس شاخص NDVI

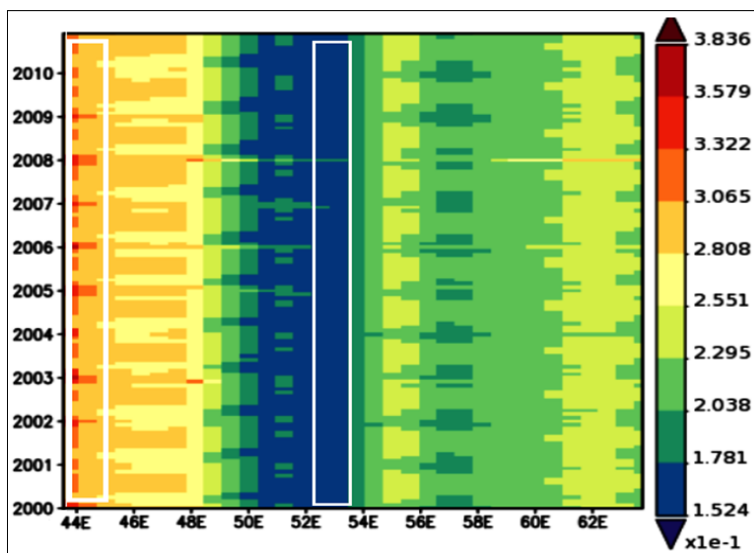
22. Normalized Difference Vegetation Index

تابش آفتاب علاوه بر وضعیت هوا، موقعیت خورشید و ارتفاع محل مورد نظر، به زاویه برخورد پرتو خورشید به سطح مورد نظر نیز بستگی دارد. این میزان بین  $0^{\circ}$  تا  $4^{\circ}$  قرار دارد. همانگونه که شکل (۵) (الف) نشان می‌دهد، میانگین بلند مدت بیشترین میزان آلبدو بین سال‌های ۲۰۰۰ تا ۲۰۱۰ میزان آلبدو در عرض جغرافیایی ۳۰° تا ۳۱° درجه شمالی به میزان  $2/7$  تا  $3$  واحد و کمترین میزان آن نیز بین عرض‌های  $37^{\circ}$  تا  $38/5^{\circ}$  درجه شمالی در حدود  $1/8$  تا  $1/7$  واحد به ثبت رسیده است. در مورد آلبدوی سطحی ناحیه عرض  $37^{\circ}$  درجه، می‌توان گفت که این مناطق بیشترین روزهای ابرناکی را دارا می‌باشند شکل (۵) (ب) و زاویه تابش خورشید نیز بسیار کم و پوشش گیاهی غنی دارند؛ به همین علت مقادیر ضریب انعکاس کاهش نشان می‌دهد.



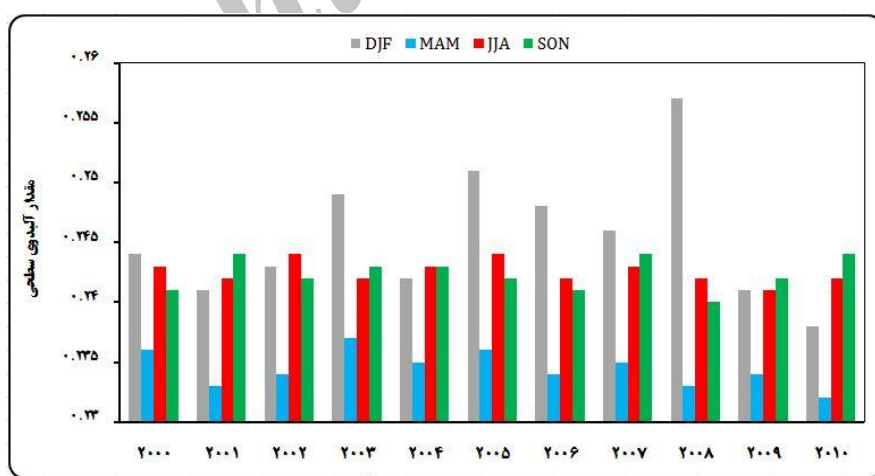
شکل (۵). (الف) مقدار آلبدو (ب) مقدار ابرناکی در امتداد عرض جغرافیایی ایران

همچنین بر اساس شکل (۶)، میانگین بلند مدت بیشترین میزان آلبدو طی سال‌های مورد مطالعه، در طول جغرافیایی  $44^{\circ}$  تا  $45^{\circ}$  درجه شرقی به میزان  $2/8$  تا  $3/3$  و کمترین مقدار بازتابش نیز بین  $52^{\circ}$  تا  $53^{\circ}$  درجه طول شرقی یعنی دامنه‌های شرقی رشته کوه‌های زاگرس به میزان  $1/5$  تا  $1/8$  واحد به ثبت رسیده است.



شکل (۶). مقدار آلبدو در طول جغرافیایی ایران

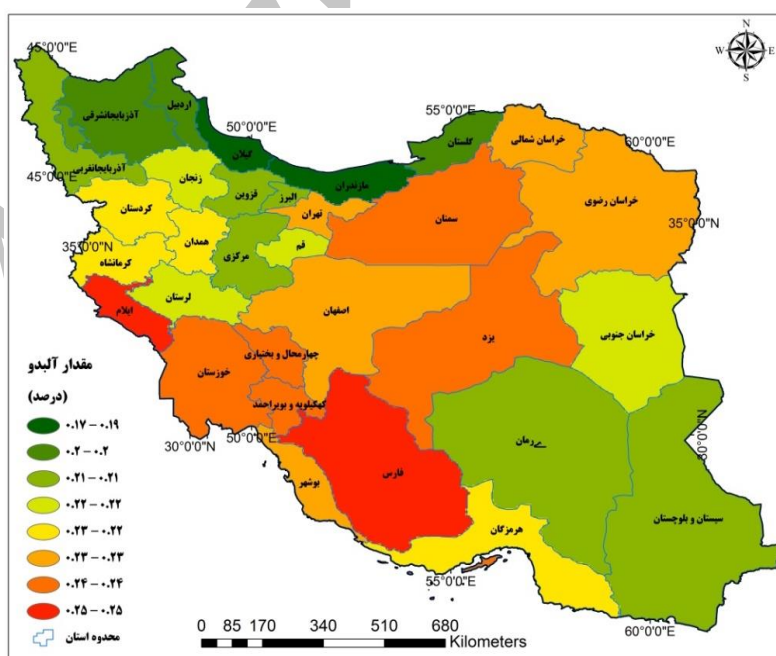
به منظور آگاهی از میزان آلبدوی فصلی در گستره ایران نمودار فصلی شکل (۷) ترسیم گردید. همانطور که نمودار نشان میدهد بیشترین مقدار آلبدو در پهنه ایران به فصل زمستان با مقدار  $0/25$  واحد اختصاص دارد. همچنین میانگین بلندمدت حداقل مقدار بازتابش در فصل بهار به مقدار  $0/23$  واحد به ثبت رسیده است. آلبدوی سطحی در بیابان‌ها از  $20$  تا  $40$  درصد تغییر می‌کند و تغییرات فصلی آلبدوی سطحی در این مناطق در نتیجه تغییر شرایط رطوبت سطح اتفاق می‌افتد. رنگ خاک، رطوبت، ساختار، و ناهمواری، همگی بر آلبدوی سطحی تأثیر می‌گذارند و خاک‌های فاقد ساختار آلبدوی سطحی را  $15$  تا  $20$  افزایش می‌دهند.



شکل (۷). مقدار بلندمدت فصلی آلبدو در گستره ایران

بر اساس پهنه بندی داده‌های آلبدو در گستره ایران می‌توان گفت که پهنه‌ی استان ایلام بیشترین بازتابش را به میزان  $0/25$  واحد دارا می‌باشد، سپس استان فارس به مقدار  $0/24$  واحد در رتبه بعدی قرار گرفته است.

استان ایلام به علت ارتفاع بالاتر، جوی رقیق تر دارد و پهنه زیادی از این استان نیمه بیابانی و فاقد پوش گیاهی غنی است. همچنین این استان به علت توپوگرافی نیمه کوهستانی با شیب زیاد رو به سمت جنوب غرب، مقدار تابش در واحد سطح را بالا برده و به دنبال آن مقدار بازتابش را نیز افزایش می دهد. اما استان فارس به علت فقر پوشش گیاهی و قرارگیری در عرض های پایین تر، مدت طولانی تری زیر نفوذ پرفشار جنوب حاره قرار دارد؛ همچنین خورشید با زاویه تابش بیشتری به سطح زمین تابیده و مقدار انرژی رسیده بالاتر می رود؛ بدین ترتیب مقدار آلبدو نیز در واحد سطح افزایش خواهد یافت. همچنین رطوبت حاک در این دو منطقه بیشتر از مناطق دیگر است. اما کمترین میزان آلبدو به استان های گیلان و سپس مازندران با مقادیر  $0.17$  و  $0.19$  واحد اختصاص دارد. استان های گلستان، اردبیل و تبریز نیز به ترتیب با مقادیر  $0.2$  و  $0.2$  واحد در رتبه های بعدی قرار دارند. از علل کاهش میزان بازتابش در این استان ها می توان به موقعیت قرارگیری آن ها در عرض های بالاتر، کمتر شدن زاویه تابش و همچنین میزان ابرناکی بیشتر این استان ها اشاره کرد. به علت خارج بودن این استان ها از حاکمیت پرفشار جنوب حاره، دارای تعداد روزهای ابرناکی بیشتری هستند، و در نتیجه تابش کمتری به سطح می رسد؛ همچنین پوشش گیاهی این مناطق نسبت به استان های غربی و مرکزی کشور غنی تر است که در اثر این پوشش، تابش خورشید جذب و مقدار بازتاب در واحد سطح کاهش می یابد شکل (۸). در مجموع می توان گفت که مناطق غرب و مرکز کشور دارای بیشترین، و مناطق شمال و شمالغرب کشور دارای کمترین بازتابش هستند. به طور کلی، در نواحی بیابانی به خصوص نمکزارهای منطقه مورد مطالعه مانند یزد و سمنان به دلیل ماهیت فیزیکی و رنگ مواد تشکیل دهنده خاک، مقادیر آلبدوی سطحی و شدت آن بیشتر است. البته، در نواحی زهکش کوبیری مانند کرمان و سیستان که مقادیر بیشتری آب موجود در خاک دارند، عامل کاهش دمای سطحی و کاهش آلبدوی سطحی تا حدودی بیشتر مشاهده می شود.



شکل (۸). پهنه بندی گستره ایران از نظر مقدار آلبدو در واحد سطح

جدول (۳) رتبه بندی استان‌ها بر اساس مقدار بازتابش

استان	میانگین آبادو	استان	میانگین آبادو
گیلان	۰/۱۶۹	هرمزگان	۰/۲۲۰
مازندران	۰/۱۷۱	کرمانشاه	۰/۲۲۴
اردبیل	۰/۱۸۶	کردستان	۰/۲۲۴
گلستان	۰/۱۹۶	تهران	۰/۲۲۷
آذربایجانشرقی	۰/۲۰۳	خراسان رضوی	۰/۲۲۸
البرز	۰/۲۰۵	اصفهان	۰/۲۲۸
قزوین	۰/۲۰۶	خراسان شمالی	۰/۲۲۲
آذربایجان غربی	۰/۲۰۷	بوشهر	۰/۲۲۲
سیستان	۰/۲۰۷	چهارمحال	۰/۲۲۳
کرمان	۰/۲۱۰	جزایر	۰/۲۲۳
مرکزی	۰/۲۱۱	یزد	۰/۲۲۵
خراسان جنوبی	۰/۲۱۵	خوزستان	۰/۲۳۶
لرستان	۰/۲۱۷	کهگیلویه	۰/۲۳۶
زنجان	۰/۲۱۷	سمنان	۰/۲۳۹
قم	۰/۲۱۸	فارس	۰/۲۴۸
همدان	۰/۲۱۹	ایلام	۰/۲۴۹

### نتیجه‌گیری

در این تحقیق اثر همزمان چند مولفه از جمله: رطوبت لایه سطحی خاک (Wetness)، ابرناکی (Cloudness)، توپوگرافی و تراکم پوشش گیاهی (NDVI) در گستره‌ی ایران مورد بررسی قرار گرفت که نتایج زیر را در پی داشت.

تحلیل فضایی نقشه رطوبت خاک نشان می‌دهد که در جهت طول جغرافیایی در گستره ایران بیشترین مقدار رطوبت خاک در طول ۵۲ و کمترین مقدار آن به صورت منقطع در طول‌های جغرافیایی ۴۵ و ۶۲ درجه، اما در جهت عرض جغرافیایی بیشترین مقدار رطوبت خاک در عرض ۳۸ و کمترین مقدار آن در عرض ۳۰ تا ۳۲ درجه به ثبت رسیده است. نتایج حاصل از شاخص NDVI نشان داد که بخش‌های شمالی که مشکل از جنگل‌های انبوه همراه با کشاورزی متراکم است با میانگین ۰/۶ و سپس شمال غربی و بخش‌هایی از زاگرس با جنگل‌های بلوط و مناطق کشاورزی آبی در خوزستان با ۰/۳ تا ۰/۴ دارای مقادیر NDVI بیشتری نسبت به دیگر مناطق بودند. با مراجعه به نقشه توپوگرافی منطقه مشخص شد که این قسمت از منطقه دارای زمین‌های پست و کم ارتفاعی است و تقریباً همگی به زیر کشت آبی یا دیم رفته است، بنابراین نسبت به دیگر قسمت‌های منطقه مطالعه دارای NDVI بیشتر و در نتیجه پوشش گیاهی بهتری می‌باشد. اما کم ترین مقدار شاخص NDVI با مقدار ۰/۲- مربوط به بخش‌های مرکزی و شرقی کشور است که شامل زمین‌های شنی و بیابانی است. مطالعات ابرناکی نشان داد که میزان ابرناکی با طول جغرافیایی رابطه زیادی ندارد. که بخش‌های شمالی

بویژه کرانه های غربی خزر و بخش های میانی ایران را در بر می گیرد اساساً کمربند شمالی ایران در بالای مدار ۳۶ درجه نسبت به نقاط جنوبی دو برابر ابرناکتر است. از مدار ۳۶ درجه تا  $38/5$  یعنی در  $2/5$  درجه قوسی ابرناکترین منطقه ایران واقع است. در این منطقه ابرناکی بین  $10^{\circ}$  تا  $20^{\circ}$  درصد در نوسان است. در عرض های شمالی تر ابرناکی پیرامون  $15^{\circ}$  درصد نوسان می کند.

بنابراین با توجه به تحلیل مولفه های مورد استفاده، نتایج حاصل از تحلیل فضایی مقادیر آلbedo در گستره ایران نشان داد که بیشترین مقدار در طول جغرافیایی  $44^{\circ}$  تا  $45^{\circ}$  درجه شرقی به میزان  $2/8$  تا  $3/3$  و کمترین مقدار بازتابش نیز بین  $52^{\circ}$  تا  $53^{\circ}$  درجه طول شرقی یعنی دامنه های شرقی رشته کوه های زاگرس به میزان  $1^{\circ}$  تا  $1/5$  واحد به ثبت رسیده است. از نظر رتبه استانی نیز بیشترین بازتابش به میزان  $0/25$  واحد مربوط به استان ایلام می باشد و سپس استان فارس به مقدار  $0/24$  واحد در رتبه بعدی قرار گرفته است. استان ایلام به علت ارتفاع بیشتر جوی رفیق قر دارد و پهنه زیادی از این استان نیمه بیابانی و فاقد پوشش گیاهی غنی است. همچنین این استان به علت توپوگرافی نیمه کوهستانی شیب های زیادی رو به سمت جنوب غرب دارد که مقدار تابش در واحد سطح را بالا برده و به دنبال آن مقدار بازتابش نیز افزایش می یابد. اما استان فارس به علت فقر پوشش گیاهی، قرارگیری در عرض های پایین تر که مدت طولانی تری زیر نفوذ پروفیل جنوب حاره قرار دارد، و با افزایش زاویه تابش خورشید، مقدار انرژی رسیده بالاتر رفته و مقدار آلbedo نیز در واحد سطح افزایش خواهد یافت. کمترین میزان آلbedo نیز به استان های گیلان و سپس مازندران با مقادیر  $0/17$  و  $0/19$  واحد اختصاص دارد. همچنین نتایج حاصل از تحلیل زمانی در مقیاس فصلی نشان داد که بیشترین مقدار آلbedo در پهنه ایران در فصل زمستان به مقدار  $0/25$  واحد و حداقل مقدار بازتابش در فصل بهار به مقدار  $0/23$  واحد به ثبت رسیده است. آلبدوی سطحی در تغییرات ماهانه و فصلی آلبدوی سطحی در نتیجه تغییر شرایط رطوبت سطح اتفاق می افتد.

در کل نتایج حاصل از بررسی نقشه و نمودارها نشان داد که، مقادیر آلbedo به دست آمده از مناطق مختلف کشور می توان تفاوت در میزان ابرناکی، پوشش گیاهی، عرض جغرافیایی، رطوبت خاک در مناطق مختلف ایران را به خوبی درک کرد. عوامل سایه و رطوبت خاک و هوموس در مناطق جنگلی شمال ایران نیز موجب کاهش آلبدوی سطحی می شود. از طرفی، مقادیر آلبدوی سطحی در نواحی دارای پوشش گیاهی کمتر از نواحی فاقد پوشش گیاهی است. در مجموع می توان گفت که مناطق غرب و مرکز کشور دارای بیشترین، و مناطق شمال و شمالغرب کشور دارای کمترین بازتابش هستند.

نتایج این تحقیق با دیگر تحقیقات انجام شده نشان داد که ارتباط تنگاتنگی بین عناصر اقلیمی و مقدار آلbedo وجود دارد. البته این نقش در مناطق مختلف اندکی با هم دیگر متفاوت است. به عنوان مثال می توان از نتایج تحقیق خیرخواه زرکش و همکاران (۱۳۹۳)، نام برد که با استفاده از تصاویر لندست و مودیس مقدار آلbedo سطحی را محاسبه کرده و دریافتند که، در مقادیر البدو به ترتیب  $0/186$  و  $0/344$  را نشان می دهد؛ یا مطالعه سبزی پرور و همکاران (۱۳۹۴)، که با استفاده از تصاویر لندست نشان دادند آلبدوی برآورده شده منطقه بین  $0/21$  تا  $0/26$  متغیر است. با مقایسه نتایج با دیگر تحقیقات می توان دریافت که از لحاظ مقادیر آلbedo با یکدیگر همخوانی قابل توجهی دارند.

### منابع

- ابراهیمی خوسفی، محسن. (۱۳۸۹)، محاسبه درصد پوشش گیاهی با استفاده از شبکه‌های عصبی مصنوعی و شاخص‌های گیاهی جهت بهبود شاخص عمودی خشکسالی اصلاح شده (حوضه شیطور، بیزد)، پایان نامه کارشناسی ارشد، دانشگاه شهید بهشتی، دانشکده علوم زمین، گروه آموزشی GIS و سنجش از دور.
- اکبرزاده، مهری. (۱۳۹۰)، ارزیابی دقت محصولات آبدوی **MODIS** با استفاده از تصاویر **ASTER**، پایان نامه کارشناسی ارشد دانشگاه صنعتی خواجه نصیرالدین طوسی، دانشکده نقشه برداری.
- بابازاده . ح. نوروزی اقدم . ا. عقیقی. ح. شمس نیا. س. م. خدادادی دهکردی. ۱۳۹۰. ۵. تخمین رطوبت لایه سطحی خاک اراضی مرتعی مناطق خشک و نیمه خشک با استفاده از شاخص دما و پوشش گیاهی.
- ثنایی نژاد، سیدحسین؛ سمیرا نوری و سیدمجید هاشمی نیا. (۱۳۹۰)، برآورد تبخیر و تعرق واقعی با استفاده از تصاویر ماهواره‌ای در منطقه مشهد. نشریه آب و خاک (علوم و صنایع کشاورزی)، ۲۵(۳): ۵۴۷-۵۴۰.
- خریخواه زرکش، میرمسعود؛ عادل محبوبیان و همایون حصادی. (۱۳۹۳)، مقایسه مقایر برآورده آبدوی سطحی به دست آمده از تصاویر لندست و مودیس، سنجش از دور و سامانه اطلاعات جغرافیایی در منابع طبیعی، ۲(۵): ۳۹-۴۸.
- درخشی، جعفر. (۱۳۸۹)، برآورد و پهنه‌بندی تابش خورشیدی دریافتی در سطح افقی با استفاده از پارامترهای اقلیمی در محیط **GIS** (مطالعه موردی: استان آذربایجان شرقی)، پایان نامه کارشناسی ارشد جغرافیا، دانشگاه سیستان و بلوچستان.
- سبزی پرور، علی‌اکبر؛ الهام فخاری‌زاده شیرازی؛ صفر معروفی و یوسف رضایی. (۱۳۹۴)، تخمین ضریب آبدوی سطح زمین با استفاده از تصاویر **G** و **level1\_CDR** ماهواره لندست ۷، نشریه هواشناسی کشاورزی، ۳(۲): ۴۵-۵۴.
- لطفی، حسین. (۱۳۹۰)، برآورد تابش خالص خورشیدی با کاربرد داده‌های سنجنده **MODIS**، پایان نامه کارشناسی ارشد، دانشکده کشاورزی و منابع طبیعی، دانشگاه شیراز.
- مفاحری، امید؛ شهریار خالدی؛ علی اکبرشمسی پور؛ مصطفی فلاحت خوشجی و آذرکرمانی. (۱۳۹۵)، تحلیل خشکسالی با استفاده از شاخص **NDVI** در دشت قزوین و دهگلان، نشریه تحقیقات کاربردی علوم جغرافیایی، ۱۶(۴۱): ۷۷-۹۴.
- Bosilovich, M. G., R. Lucchesi, and M. Suarez, (2016). MERRA-2: File Specification. GMAO Office Note. 9 (1.1), pp73.
- Chiacchio, M., F. Solmon, F. Giorgi, P. Stackhouse Jr., and M. Wild, (2015), **Evaluation of the radiation budget with a regional climate model over Europe and inspection of dimming and brightening**, J. Geophys. Res. Atmos., 120: 1951–1971, doi: 10.1002/2014JD022497.
- Coakley, J. A. (2003). **Reflectance and albedo, surface**. Encyclopedia of Atmos. Sci., 1914- 1923.
- da Silva, A. M., C. A. Randles, V. Buchard, A. Darmenov, P. R. Colarco, and R. Govindaraju, (2015). **File Specification for the MERRA Aerosol Reanalysis (MERRAero)**. GMAO Office Note No. 7 .pp63.
- Hartmann. D. L., Ramanthan V.A, Berroir. G, (1986), **Earth Radiation Budget Data and Climate Research**, REVIEWS OF GEOPHYSICS, 24(2): 439-468.
- He, T. (2012). **Estimating land surface albedo from satellite data**. Doctor of Philosophy dissertation, Faculty of the Graduate School of the University of Maryland, College Park, pp54.

- Jackson RD, Moran MS, Gay LW and Raymond LH. (1987). **Evaluating evaporation from field crops using airborne radiometry and ground-based meteorological data.** Irrigation Science, **8**(2): 81-90.
- Kim, D., and V. Ramanathan, (2008), **solar radiation budget and radiative forcing due to aerosols and clouds**, Jurnal of Geophysical Research, **113**:1-34, D02203, doi: 10.1029/2007JD008434.
- Liang S, Fang H, Morisette JT, Chen M, Shuey CJ, Walther CL and Daughtry CS. (2002). **Atmospheric correction of Landsat ETM+ land surface imagery. II. Validation and applications.** Geoscience and Remote Sensing, IEEE Transactions on, **40**(12): 2736-2746.
- Liang S. (2001). **Narrowband to broadband conversions of land surface albedo I: Algorithms.** Remote Sensing of Environment, **76**(2): 213-238.
- Maykut, G. (1986). **The surface heat and mass balance**, in *the geophysics of sea ice*, edited by N. Untersteiner. New York: Plenum.
- Maykut, G., and N. Untersteiner. , (1971). **Some results from a time-dependent thermodynamic model of Arctic sea ice.** Journal of Geophysical Research, **76**(6): 1550-1575.
- Molod, A., L. Takacs, M. Suarez, J. Bacmeister, I.-S. Song, and A. Eichmann,(2012). **The GEOS- 5 Atmospheric General Circulation Model: Mean Climate and Development from MERRA to Fortuna.** NASA Technical Report Series on Global Modeling and Data Assimilation, NASA TM—2012-104606, Vol. 28, 117 pp.
- Molod, A., Takacs, L., Suarez, M., and Bacmeister, J., 2014: **Development of the GEOS-5 atmospheric general circulation model: evolution from MERRA to MERRA-2**, Geosci. Model Dev. Discuss., **7**:7575-7617, doi: 10.5194/gmdd-7-7575-2014.
- Perovich, D.K. (1998). **Sea ice motion in response to geostrophic winds.** Journal of Geophysical Research, **87**(8): 5845-5852.
- Rienecker and Coauthors, (2011). **MERRA - NASA's Modern-Era Retrospective Analysis for Research and Applications.** J. Climate, **24**: 3624-3648, doi:10.1175/JCLI-D-11-00015.1.
- Stephens, G. L., D. O'Brien, P. J. Webster, P. Pilewski, S. Kato, and J.-l. Li, (2015), **the albedo of Earth**, Rev. Geophys., **53**:1-23, doi: 10.1002/2014RG000449.
- Tasumi, M., Allen, R. G., Trezza, R. (2008). **Atsurface reflectance and albedo from satellite for operational calculation of land surface energy balance.** J. Hydrologic Eng., **13**(2):51-63.
- Wielicki, B. A., Wong, T., Loeb, N., Minnis, P., Priestley, K., Kandel, R. (2005). **Changes in Earth's albedo measured by satellite.** Sci., **308**(5723): 825- 825.
- Wu, W.-S., R.J. Purser and D.F. Parrish, (2002), **Three-dimensional variational analysis with spatially inhomogeneous covariances.** Mon. Wea. Rev., **130**: 2905-2916.
- Ying Qu, Shunlin Liang, Qiang Liu, Xijia Li, Youbin Feng, Suhong Liu. (2016). **Estimating Arctic sea-ice shortwave albedo from MODIS data.2016.** Remote Sensing of Environment, **186**:32–46, doi:10.1016/j.rse.2016.08.015.